

<http://www.geojournals.cn/dzxb/ch/index.aspx>

河北一个矽卡岩型矿床的含矿变质带

高凡 罗鵬來

一、地質概况与侵入体的岩石特征

本区位于燕山准地槽端部。燕山期火成活动的结果，生成大面积的花崗岩岩基。而在花崗岩体的侵入与后期的热液作用下，生成了各种金属与非金属矿床，并使接近花崗岩的围岩产生广泛的蚀变现象。本文所研究的含矿变质带就是此侵入体与围岩——震旦紀白云岩接触带上的产物(图1)。现就区内地层、构造、岩浆岩各项分述如下：

1. 地层

本区内出露的地层简单，震旦系出露于花崗岩体之南。震旦系下部为薄层大理岩，灰白—灰黑色；中部为灰白色厚层状白云大理岩与白云岩，以及厚层和薄层白云岩的互层，并夹少量泥质灰岩，其中常含扁豆状结核，结核抵抗风化力量较强，在断面上时常突出呈扁豆体状；上部为硅质白云岩，含硅质条带，岩质较细。在区内可见厚度约200米。由于花崗岩体的侵入，下部及中部地层受热力变质影响，结晶变粗，多已大理岩化，有时并生成新矿物，如透闪石、橄榄石等。上部白云质灰岩及硅质白云岩，颗粒渐变细，说明受热力变质的影响已经微弱。

第四纪冲积层，分布于区内低洼处和较宽的谷中。

2. 地质构造

矿区构造，主要是由震旦纪白云岩组成一个背斜构造。在背斜轴部出现花崗岩。本区居背斜南翼，岩层向南西方向倾斜，无褶曲变化时，一般倾角为20°左右。在矿区东部，白云大理岩形成一个向北倒转的背斜构造，轴向北西—南东，向南东方向倾伏，北翼倾角60°—70°，南翼倾角平缓，20°—30°。在矿区西部的背斜构造，轴向北西—南东东。在13—14行(图1)之间，背斜构造北翼，褶曲剧烈，岩层破碎，花崗岩体沿破碎裂隙侵入，局部白云大理岩形成小的下垂顶板。在本区西端(17行以西)，背斜构造的北部岩层，复经剧烈褶皱，形成一个小的向斜构造。

3. 岩浆岩

侵入岩：区内侵入体以花崗岩为主，分布于北部。节理发育，多呈北东25°—50°与北西65°—40°，沿节理方向常有酸性—中性岩脉侵入。这些岩脉也广泛地贯穿围岩的裂隙中。本区内的侵入体为中粒至粗粒状，具斑状结构。巨大斑晶多为肉红色钾长石，直径可达1厘米。白色斜长石一般呈不规则状。镜下观察，主要组成矿物为石英、钾长石(以微斜长石为主)、奥长石，暗色矿物有普通角闪石和黑云母。微斜长石常构成巨大斑晶，有时具有石英包体，偶尔边缘变为斜长石。奥长石自形程度较好，有绢云母化现象，且具环带状构造。石英则呈他形充填状。黑云母有时被少量绿泥石取代。此外，磁铁矿、榍石、磷灰石等均含量很少。

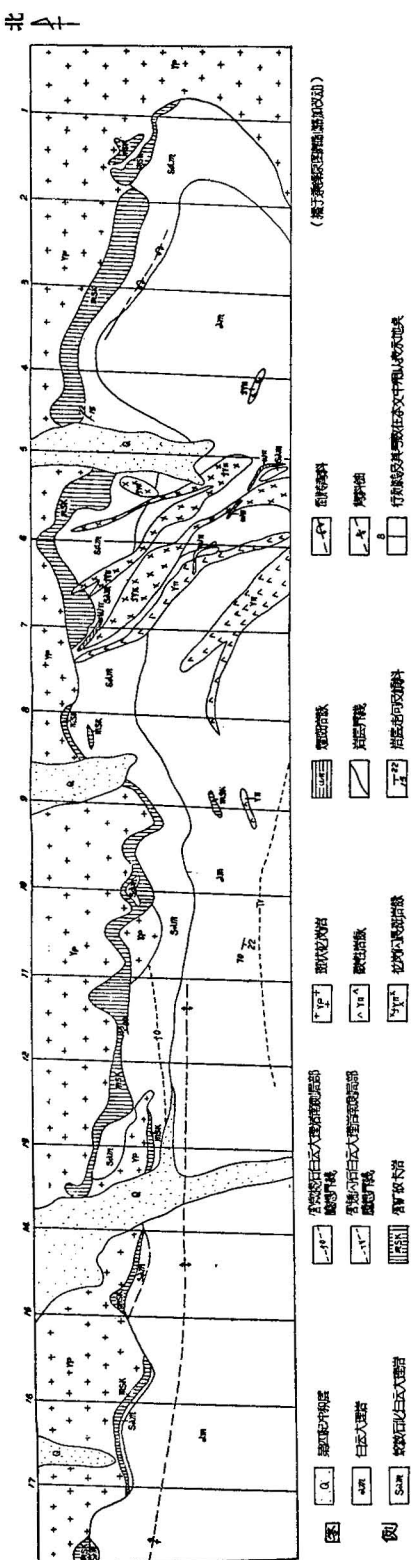


表 2 斑状花岗岩的化学成分

| 样 品 号 | 地 点 | SiO ₂ | CO ₂ | FeO | H ₂ O | CaO | MgO | Fe ₂ O ₃ | Al ₂ O ₃ | P ₂ O ₅ | Na ₂ O | K ₂ O | Mn* | Ti* |
|-------|-------|------------------|-----------------|------|------------------|------|------|--------------------------------|--------------------------------|-------------------------------|-------------------|------------------|------|------|
| B87 | 东部4行 | 69.22 | 0.53 | 1.37 | 0.26 | 2.03 | 1.51 | 3.23 | 15.51 | 0.049 | 3.10 | 3.65 | 0.01 | 0.01 |
| B92 | 中部8行 | 69.38 | 0.65 | 1.46 | 0.25 | 1.94 | 1.57 | 3.28 | 15.34 | 0.060 | 3.10 | 3.65 | 0.03 | 0.20 |
| B139 | 西部14行 | 69.64 | 0.58 | 1.65 | 0.13 | 2.06 | 1.66 | 3.38 | 18.04 | 0.018 | 3.30 | 3.60 | 0.03 | 0.10 |

* 为光谱半定量。

測量了两个在不同地点采取的花崗岩的主要矿物体积百分比,数据列入表 1 之内。

表 1 花崗岩的主要矿物体积百分比

| | 石英 | 钾长石 | 奥长石 | 角闪石 | 黑云母 | 副矿物 (磁铁矿、榍石等) |
|------------------|-------|-------|-------|-------|------|------------------|
| 斑状花崗岩 B 87 | 24.24 | 42.71 | 24.67 | 4.67 | 1.97 | 1.74 |
| 矽卡岩化花崗岩 B 140 | 17.60 | 41.62 | 23.99 | 13.14 | 1.06 | 2.59 |

茲将 B87 斑状花崗岩按尤翰生分类方法計算如下:

| | |
|----------------------|-----------------------|
| 石英..... | 24.24 = 26.46 |
| 钾长石..... | 42.71 = 46.62 = 63.39 |
| 奥长石..... | 24.67 = 26.92 = 36.61 |
| 长英成分..... | 91.62 100.00 100.00 |
| 普通角闪石..... | 4.67 |
| 黑云母..... | 1.97 |
| 副矿物(磁铁矿、榍石、磷灰石)..... | 1.74 |
| 暗色成分..... | 8.38 |

表 3 花崗岩的岩石化学参数(按查瓦里茨基)

| 氧化物 | 重量% | 分子量数 |
|--------------------------------|--------|----------------------------------|
| SiO ₂ | 69.22 | 1154 } 1154.....S |
| Ti* | 0.01 | — } |
| Al ₂ O ₃ | 15.51 | 152 - 89 = 63 - 36 = 27 × 2 = 54 |
| Fe ₂ O ₃ | 3.23 | 20 × 2 = 40 } 59 |
| FeO | 1.37 | 19 } |
| Mn* | 0.01 | — } |
| MgO | 1.51 | 38 } |
| CaO | 2.03 | 36.....C |
| Na ₂ O | 3.10 | 50 } |
| K ₂ O | 3.65 | 39 } 89 × 2 = 178.....A |
| P ₂ O ₅ | 0.049 | |
| H ₂ O | 0.26 | |
| CO ₂ | 0.53 | |
| | 100.48 | |

* 为光谱半定量。

| | | |
|------------|------------|--|
| $A = 178$ | $a = 11.7$ | $a' = \frac{54}{151} \times 100 = 35$ |
| $C = 36$ | $c = 2.4$ | $c' = \frac{59}{151} \times 100 = 39$ |
| $B = 151$ | $b = 10.0$ | $b' = \frac{38}{151} \times 100 = 25$ |
| $S = 1154$ | $s = 75.9$ | $s' = \frac{2 \times 50}{178} \times 100 = 56$ |
| 1519 | 100.0 | |

属 2 科、2 类、6 族, 即为花崗岩。可以符号 226P 代表。

选取距离变质带稍远的未变质的花崗岩三个样品(取自区内侵入体的东部、中部和西部), 作了化学分析, 結果列于表 2、3。

根据计算結果与一般黑云母角闪花崗岩相当。大致相当于卢奇茨基分类次序排列的第 43 号花崗岩, 与上面按矿物計算的結果一致。

脉岩: 脉岩在区内除存在于前述花崗岩侵入体中以外, 还更广泛地貫穿于围岩内, 一般多为酸性一中性岩脉, 种类較为复杂, 有石英斑岩、矽卡岩化花崗閃长斑岩、石英二长斑岩、淡色微晶花崗岩、煌斑岩等等。岩脉走向多北西—南东方向, 次为北东—南西方向, 偶見近于东西向者, 一般延长几十米到二百米不等。岩脉延长方向常与岩层节理的主要方向一致。

二、含矿变质带的划分与分布

侵入体与白云岩接触，产生宽广的带状变质带。有用金属矿物即孕育其中。这种带状分布在区内大致有一定的规律。按变质作用的性质与矿物的不同组合，我们试将含矿变质带作如下的划分。

1. 斑状花岗岩(未经蚀变)。
2. 矽卡岩化花岗岩带(即内变质带)。岩浆熔融同化一部分围岩，使之钙质增多，产生多量阳起石—透闪石。有时由于花岗岩边缘的 SiO_2 外移，则生成无石英的二长岩或闪光长岩等[图 2(3、4)]。此带宽度不等且不规律，一般宽 2—3 米。
3. 矿化矽卡岩带(即外变质带)。这是岩浆侵入后与围岩接触交代的产物，绝大部分生于花岗岩与围岩之间(图 1)，少数的位于花岗岩体边缘或远离接触界限 50—60 米之围岩内。依主要矿物的不同，可分为两个亚带。
 - (1) 石榴石矽卡岩亚带：主要组成矿物为淡褐——棕褐色钙铁榴石，常含透辉石等矿物。
 - (2) 透辉透闪矽卡岩亚带：主要由透辉石、透闪石组成。
- 二亚带往往是互相消长，非绝对并存。同时存在时，二者出现次序也不固定。
4. 蛇纹石化含橄榄石白云大理岩带。蛇纹石化现象，在本矿区极为广泛，但含橄榄石白云大理岩带则仅见于西部，居于矽卡岩带之外，厚 20 余米，有时也作残余体出现，夹于矿化带地段之中。
5. 含透闪石白云大理岩带。含白色透闪石，一般分散于白云大理岩之内，在密集处呈放射状。此带厚度约 50 米至 100 米不等。
6. 白云大理岩带。此带未见透闪石及其它变质矿物，只有重结晶现象。岩石多呈白色—灰白色糖粒状。厚度 30—40 米。就化学分析看，本段含 SiO_2 很少(表 4 第 9 行)，接近纯白云岩。
7. 白云岩与含硅质白云岩。变质现象至本层已变弱，以至全部消失。

分带大致如此，而各带不仅厚度变化幅度很大，空间上有互相消长现象，且各带变质作用在时间上也不只一次。如蛇纹石化在空间上波及极广，横跨数带，而矽卡岩带表现为多期性的矿化与多期性的变质和蚀变。由于各期的产物加迭或超复，使各带具有各种复杂的矿物组合，同时暗示着经过不同温度的发展过程。

我们研究了区内上述各变质带复杂的矿物组合，对主要变质作用和矿化过程有某些理解。现在从成因上，按时间的先后顺序，就以下四方面依次加以探讨：1) 接触变质(热力变质)；2) 接触交代变质；3) 蛇纹石化作用；4) 含矿热液蚀变作用。

三、接触变质(热力变质)

包括含橄榄石白云大理岩带与含透闪石白云大理岩带，也包括未见变质矿物的白云大理岩带，共宽 100—150 米。以侵入体为中心，含橄榄石白云大理岩带距离侵入体近，其它二带依次渐远。就变质性质讲，主要是热力变质作用所造成，表现普遍的重结晶作用和局部化学再合作用，但无外界物质进入参加反应。而离侵入体较近部分，广泛地产生蛇

表4 矿区变质带岩石分析资料
1—9行为各带岩化学分析；10—14行为砂卡岩中组分的加入(+)和带出(-)。

| 行 组分 | (以克/100立方厘米計) | | | | | | | | | | | | |
|--------------------------------|---------------|---------|---------|---------|---------|---------|---------|---------|---------|---------|---------|---------|---------|
| | 1 | 2 | 3 | 4 | 5 | 6 | 7 | 8 | 9 | 10 | 11 | 12 | 13 |
| 重量 % | g/100cc | 重量 % | g/100cc | 重量 % | g/100cc | 重量 % | g/100cc | 重量 % | g/100cc | 重量 % | g/100cc | 重量 % | g/100cc |
| SiO ₂ | 69.38 | 187.3 | 68.7 | 186.1 | 63.64 | 174.2 | 36.43 | 132.6 | 51.54 | 58.26 | 4.60 | 13.1 | 12.35 |
| Ti* | 0.2 | — | 0.1 | — | 0.2 | 0.01 | 0.01 | 0.01 | 0.001 | 0.00 | 0.01 | 0.9 | 2.7 |
| Al ₂ O ₃ | 15.34 | 41.4 | 16.08 | 43.5 | 16.98 | 47.0 | 10.18 | 37.0 | 1.58 | 1.03 | 0.26 | 0.7 | 0.34 |
| Fe ₂ O ₃ | 3.28 | 9.8 | 2.48 | 6.7 | 2.78 | 7.6 | 24.98 | 90.8 | 4.48 | 10.48 | 0.08 | 0.2 | 0.78 |
| FeO | 1.46 | 3.9 | 0.95 | 2.6 | 0.55 | 1.5 | 1.41 | 5.1 | 1.58 | 0.76 | 0.14 | 0.4 | 0.33 |
| MgO | 1.57 | 4.2 | 1.35 | 3.7 | 3.10 | 8.6 | 2.24 | 8.1 | 19.09 | 17.23 | 21.02 | 60.0 | 19.09 |
| Mn* | 0.03 | — | 0.02 | 0.1 | 0.04 | 0.1 | 0.40 | 1.5 | 0.2 | 0.7 | 0.05 | 0.1 | 0.2 |
| CaO | 1.94 | 5.2 | 3.12 | 8.5 | 4.94 | 13.4 | 22.80 | 83.0 | 20.55 | 10.12 | 30.55 | 87.3 | 28.66 |
| Na ₂ O | 3.10 | 8.4 | 3.60 | 9.8 | 3.50 | 9.7 | 0.00 | — | 0.10 | 0.40 | 0.00 | 0.00 | — |
| K ₂ O | 3.65 | 10.3 | 3.55 | 9.7 | 3.43 | 9.5 | 0.05 | 0.2 | 0.15 | 0.18 | 0.05 | 0.1 | 0.05 |
| CO ₂ | 0.65 | 1.8 | 0.64 | 1.7 | 0.81 | 2.2 | 2.11 | 7.7 | 1.13 | 1.35 | 42.58 | 121.8 | 38.11 |
| H ₂ O | 0.25 | — | 0.20 | 0.15 | 0.18 | 0.27 | 0.13 | 0.15 | 0.12 | 0.11 | — | — | — |
| P ₂ O ₅ | 0.06 | — | 0.018 | 0.041 | 0.00 | 0.064 | 0.03 | 0.014 | 0.00 | 0.023 | — | — | — |
| Cu* | — | — | — | 0.005 | 0.002 | 0.006 | 0.001 | 0.001 | — | — | — | — | — |
| Zn* | — | — | — | — | 0.10 | 0.1 | 0.04 | 0.00 | — | — | — | — | — |
| 总计 | 100.9 | — | 100.8 | — | 100.2 | — | 100.9 | — | 100.72 | 99.5 | — | 100.03 | 99.5 |
| 比重 | 2.7 | — | 2.71 | — | 2.77 | — | 3.64 | — | 3.24 | 3.04 | 2.86 | — | 2.89 |

(1) (B92) 斜状花岗岩
(2) (B44) 轻微蚀变花岗岩
(3) (B57) 砂卡岩化花岗閃长岩
(4) (B13) 镰子矽卡岩
(5) (B97) 透輝矽卡岩
(6) (B99) 阳起透閃岩
(7) (B53) 橄榄白云大理岩
(8) (B32) 透閃大理岩
(9) (B104) 白云大理岩

* 为光谱半定量。

紋化，这种蝕变作用，在时间上并不是和上述热力变质作用同时生成的，而是晚期另一种性质的（热液交代的）蝕变作用的超复現象（詳見后）。

普遍的重結晶作用，使原岩结构变粗，有的变为糖粒状。由于原岩（白云岩）含有少量杂质—— SiO_2 ，易引起变质。在不同的温度环境下生成不同的矿物。一般这些矿物在重結晶的大理岩内，呈細小顆粒状均匀分布。可以肯定，这是在新的地質环境下維持化学成分的平衡而产生的围岩内部的变质，并无外来物质的参加。

以侵入体为中心，围岩相距越远，受热力影响越弱。据野外觀察，鎂橄欖石生成的温度要高于透閃石生成的温度。这与 N. L. 鮑溫早年对硅質灰岩与白云岩的漸进变质作用所作实验研究的結果是一致的。根据他的实验，如大气压力等于零时，鎂橄欖石生成温度在 450°C 以上，透閃石出現于 400°C 以下。并且，特定矿物生成时所需要的温度与压力成正比。本区的变质带是在深度不大的条件下生成的，故发生接触变质时的压力也較低。

含鎂橄欖石白云大理岩为白色中粒状重結晶岩石。鏡下觀察，由他形白云石鑲嵌組成，顆粒粗大近等軸状，为重結晶的結果。方解石經染色法証明其含量很少，呈充填状位于白云石顆粒間。这种方解石虽含量不多，但在这类岩石薄片內都可看到，这是退白云石化作用的結果。其所以不多，正由于鎂橄欖石生成量不多。鎂橄欖石，一般晶体細小，均勻分散于白云大理岩内，肉眼不易識出，鏡下无色，呈柱状或顆粒状包于粗粒白云石内，状如海綿，突起高，无解理，二軸(+)，平行消光。

含透閃石大理岩，灰色一灰白色，透閃石的集合体略呈放射状附于岩层表面。鏡下觀察，透閃石呈柱状或顆粒状出現于白云石顆粒間或包于白云石晶体內。

含橄欖石白云大理岩、含透閃石白云大理岩及仅重結晶的白云大理岩的三个化学分析結果，列于表 4 內 7、8、9 各行。三者含 SiO_2 不高，最高的 12.35% 。就成分看，与什維佐夫提出的碳酸盐岩化学分析数据比較，表 4 內 9 行样品与純白云岩的理論成分相近。薄片染色法証明，其組成矿物几乎全部为白云石。在热力变质作用影响下，则仅有重結晶作用。7 和 8 行样品与含硅質白云岩成分相当。变质后含透閃石、橄欖石不多，这正是因为它們原来含 SiO_2 較少的緣故。

四、接触交代变质

矿化矽卡岩带，位于花崗岩体与围岩的接触部分（图 1）。按照不同的矿物組合，大致可划分两个亚带。

（1）石榴石矽卡岩亚带：主要由淡褐色一棕色鈣鐵石榴石組成，是一种岩質坚硬、比重較大的矽卡岩。透輝石一鈣鐵輝石、透閃石、綠帘石、磁鐵矿，含量少，偶見部分或全部绢云母化的斜长石、直閃石与磷灰石等。

各主要矿物特征如下：

鈣鐵石榴石：顆粒緊密鑲嵌，多为淡褐色、紅褐色，多数具弱重屈折現象，呈环带构造，少数为均質性（照片 1），含少量輝石的石榴石矽卡岩測得的比重为 3.64 （表 5 的 4 行），分析 Fe_2O_3 含量达 24.98% ，与单体鈣鐵石榴石的数值相近。

透輝石：鏡下无色，柱状、顆粒状，{100} 为双晶面的聚片双晶有时很发育。Z \wedge C =

39° , 二軸晶(+), $n_\beta = 1.664$ 。

透閃石: 柱状至纖維状, 鏡下一般无色, 測 4 个样品折光率 n_β 在 1.619—1.624 之間, $Z \wedge C = 19^\circ$, 二軸晶(-)。

直閃石: 柱状集合体, 鏡下无色, 解理发育。 $n_\beta = 1.630$, 二軸晶(+), 2V小。

(2) 透輝、透閃矽卡岩亞帶: 灰白色—綠色。以透輝石为主, 常有透閃石加入, 有时透閃石呈細脉状穿入, 显然其生成晚于透輝石。在富含透閃石的地段即过渡为透閃石岩。

这二亚带实际在野外出現次第并不一定, 有的地段一亚带可以殘缺, 甚或整个矽卡岩带杳无踪迹。如在 10—11 行之間 [图 2(4)] 靠近侵入体先为石榴石矽卡岩带, 向外为透輝石矽卡岩带。在 12—13 行間 [图 2(6)] 接近侵入体仅見透輝石矽卡岩带, 石榴石矽卡岩带則远离接触綫 30 米以外。4—5 行間 [图 2(2)] 融变斑状花崗岩之外, 仅見透輝石矽卡岩带, 而无石榴石矽卡岩带。区内局部围岩与花崗岩接触温度較低时, 則无矽卡岩带之存在, 如在 3 行 [图 2(1)] 仅有矿化含橄欖石大理岩带。

矽卡岩带生成时, 围岩与斑状花崗岩在高温下接触, 不仅蒙受了热力作用, 且吸取了岩浆中分泌的 SiO_2 与鐵質等。这些物质对围岩的組成矿物进行交代, 形成新矿物, 甚至几乎全部形成新矿物集合体。由具重屈折鈣鐵榴石与均質者共生, 可推定其生成温度約在 800°C 。而透輝石之生成, 在 550°C 左右。石榴石矽卡岩带有时比透輝石岩带远于侵入体而生成, 也正說明了在高温下有着交代作用。这种交代作用在野外可清楚地看到是受层理和裂隙控制的。

从矽卡岩带有时远离接触带和接触矿化带中夹有热力变質生成的含橄欖石白云大理岩残余体来看, 前述含橄欖石与含透閃石白云大理岩带与矽卡岩带的矿物結晶, 大体上是逐漸由外向內发展的。

表 4 是矿区各变質帶依次排列的各种岩石的化学分析数据, 可供了解各类岩石化学成分的变化概况。表內 13 行表示原来硅質白云岩或純白云岩在矽卡岩化过程中組分的加入 (+) 和帶出 (-)。14 行表示經热力变質的岩石再矽卡岩化过程中組分的加入和帶出。上述都是以 100 立方厘米岩石中, 加入或帶出的成分以克为单位表示的。不难看出, 在矽卡岩化过程中需要帶入大量的 SiO_2 、 Fe_2O_3 和 Al_2O_3 。也不难理解, 这些組分都是由高温熾热液态熔融体在侵入时析出的。

表 4 的 12 行說明, 若是斑状花崗岩全部变为矽卡岩时, 要有大量的 Fe_2O_3 和 CaO 加入, 前者要依赖岩浆本身的分泌, 后者則应取之于围岩; 同时尚有相当量的 SiO_2 移出, 它将参加白云岩矽卡岩化过程中的化学反应。

若接触界綫上的矽卡岩内无残余体、无残余矿物存在时, 則不易辨認原为白云岩抑或为花崗岩。但矽卡岩化的和与围岩接触的花崗岩边缘, 由于在高温中的吸收作用, 一部分围岩中的鈣質加入于花崗岩内, 同时一部分 SiO_2 移出, 发生所謂內变質現象。表 4 的 10 行和 11 行就是化学上这些組分迁移的有力証明。从矿物組分和結構上来看, 則表現两种形式: (1) 花崗岩阳起石化, 由斑状結構变为均粒状結構, 顆粒变細, 由于柱状阳起石显著加多, 岩石顏色由粉紅色变为淡綠色至暗綠色。在鏡下, 这种阳起石常集結出現, 晶体边缘常不整齐, 多磷灰石、榍石、磁鐵矿等包体。榍石量增多, 不但作包体出現, 且經常与阳起石伴生。鉀长石多属紋长石, 斜长石以奥长石为主。值得注意的是, 奥长石常出現明

亮的边缘，土化和绢云母化的个体尤为明显（照片2）。在有双晶的个体上，它的消光角比双晶的对称消光角要大一些，在与内部有明显界限时，由贝克线看，折光率也要高一些，可以说明这些环边的斜长石要比内部奥长石含钙多些。也可以说明，这是受围岩混染作用过程中吸入钙质的结果。（2）在不少剖面上，花岗岩的边缘变为二长岩、闪长岩或花岗闪长岩。这是由于接触交代的物质迁移所致。这种现象也存在于其它矿区。如某矿区变带内广泛分布着绿帘石化斜长岩，可与本区花岗岩边缘少SiO₂岩石相对比。有人称此种

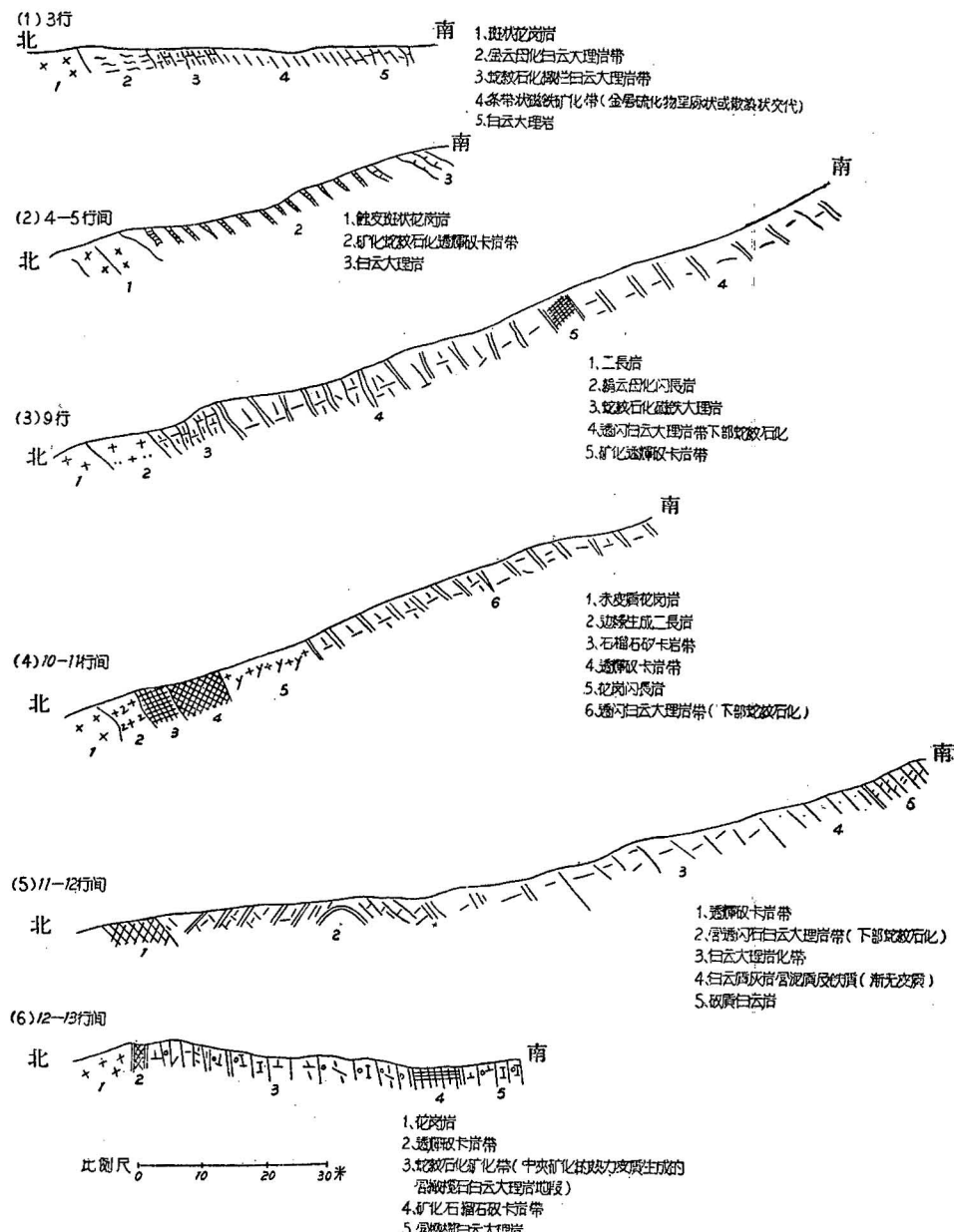


图2 研究区内含矿变质带几个主要剖面示意图

蚀变作用为斜长岩化。

在接触交代作用的同时,随着气体成分的逸出,金云母化作用有所发育。金云母在花岗岩与围岩间砂卡岩带不发育的地段,主要在矿区东端[图2(1)]交代白云大理岩。见有透辉石为金云母所交代。

金云母的主要特征是:

镜下无色, $n_B = n_r = 1.574$, $2V \approx 0$ 。化学分析结果如表5。

表5 金云母的化学成分

| 样品号 | SiO ₂ | FeO | Fe ₂ O ₃ | Al ₂ O ₃ | CaO | MgO | Na ₂ O | K ₂ O | P ₂ O ₅ | H ₂ O | LoS | F |
|-----|------------------|------|--------------------------------|--------------------------------|------|-------|-------------------|------------------|-------------------------------|------------------|------|------|
| B72 | 40.27 | 1.33 | 3.55 | 11.24 | 1.02 | 26.10 | 0.05 | 5.88 | 0.014 | 1.82 | 6.38 | 0.27 |

LoS 为灼烧减量。

少量方柱石(照片3)仅出现于本区东端的砂卡岩内。这些都说明本区存在着微弱的气成变质作用。

在砂卡岩化的初期,岩浆分泌出较少量的铁质参加于硅酸盐结晶组合之内。随着温度的降低,涌出大量铁液,在氧不足的条件下,形成大量磁铁矿。无论在野外或在镜下,都可以看到它交代接触变质时期和砂卡岩化时期生成的所有矿物。在野外看到磁铁矿化主要是受围岩的层理控制。

磁铁矿:黑色,致密一粗粒,结晶多为八面体,有时可见平行{111}的裂开,除了星散状、细脉状、条带状交代砂卡岩与大理岩外,有时能达到巨大层状的规模。

磁铁矿之所以能交代砂卡岩及其邻近的白云大理岩,是因为白云岩变为砂卡岩时,体积大为缩小。根据巴瑞尔(Barrel)的测算,体积缩小30—40%。在一定压力条件下,富含孔穴的岩石,已经给侵入流体开了方便之门。

关于接触交代作用下铁化合物的进入,是气成作用,还是热液作用,曾有过争论。若是铁作为挥发性的氯化物或氟化物进入,则将在生成铁矿后,要产生许多方柱石与萤石。但本区内所见气成矿物非常有限,故不能想象铁矿物是在气成作用下生成的。我们认为在砂卡岩化的后期,随着温度的降低,铁之进入,是在热液作用下进行的。推断磁铁矿的生成温度略低于550°C。

五、蛇纹石化作用

蛇纹石化现象,在本区内非常普遍,且显著,不但含透闪石和含橄榄石的白云大理岩遭受了蛇纹石化,砂卡岩带的岩石也同样遭受了蛇纹石化。随着蛇纹石化作用的增强,则变为蛇纹石岩。有灰白、黄绿、浅绿、翠绿、暗绿等色。有时可见摩擦滑面;风化面呈淡褐色,常有微细鳞纹。蛇纹石化透闪石与橄榄石大理岩带由数米到60—70米不等(图1)。在11行北第一机台附近,清晰地看到蛇纹石沿白云大理岩裂隙进行交代(图3)。

无论在野外或室内观察,都能见到蛇纹石交代砂卡岩的现象,而尤以交代磁铁矿极为常见。图4是12—13行间剖面上[图2(6)]蛇纹石化现象。在镜下,蛇纹石呈纤维状、片状、及部分均质状分布于磁铁矿颗粒间,有时呈细脉穿插磁铁矿,有时使磁铁矿陷于孤岛

状。蛇紋石也交代透輝石及鎂橄榄石。前者常被穿切（照片4）后者则常全部被交代，形成球粒状假象。

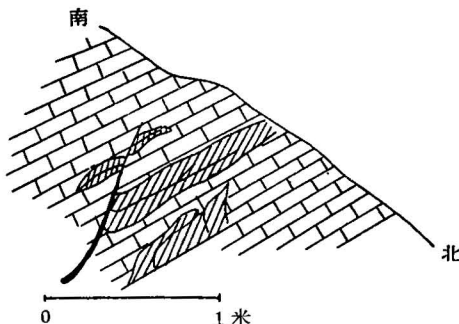


图3 11行北第一机台附近蛇紋石沿裂隙交代現象

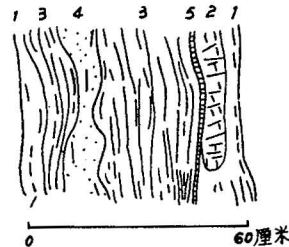
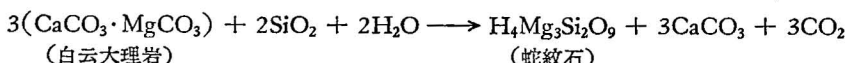


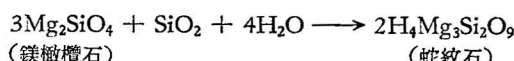
图4 12—13行間含矿矽卡岩帶蛇紋石交代磁鐵矿及大理岩

1. 黃綠色至暗綠色蛇紋石。
2. 大理岩。
3. 磁鐵矿內穿切細蛇紋石脉。
4. 蛇紋石內包有少量磁鐵矿。
5. 石棉細脉。

由上述蛇紋石与其它矿物结合关系看，蛇紋石化，显然是由热液作用直接形成的。震旦紀白云岩受到了岩浆期后热液影响，沿层理面及裂隙逐渐广泛产生蛇紋石化，而后轉变为蛇紋岩，同时生成石棉（这种石棉因层薄量少，在本区内无經濟价值）。蛇紋石在白云大理岩内形成过程可以下式表示：



白云大理岩内鎂橄榄石的变化过程如下式：



由白云岩或鎂橄榄石生成蛇紋石所需要的 MgO 的成分，无疑取之于白云岩或鎂橄榄石本身。至于水分和 SiO₂ 的来源，绝大部分是来自岩浆，由热水溶液带入的。

鏡下觀察，蛇紋石有三种：即叶蛇紋石、纖維蛇紋石与均質状蛇紋石，而以前两种为常見。叶蛇紋石与纖維蛇紋石聚集出現，磁鐵矿經常或多或少与之伴生。在高倍鏡下仔細觀察，后者顆粒邊緣与蛇紋石接触处均凹凸不平，甚或呈港湾状，这是蛇紋石交代磁鐵矿的良好証據。纖維蛇紋石（有时呈細脉状——石棉）一般洁淨，穿切磁鐵矿及叶蛇紋石，显然其生成晚于叶蛇紋石。三种不同蛇紋石，鏡下各有特征。均質状蛇紋石，重屈折率极低或近于零。叶蛇紋石与纖維蛇紋石，除由它們的叶片状与纖維状晶体习性区别外，折光率也有显著差异：叶蛇紋石 $n_\beta = 1.5605$, 二軸(-)；而纖維蛇紋石 $n_\beta = 1.50—1.522$ 。

关于蛇紋石化与石棉的生成应属那个阶段的問題，过去在这一带工作过的人們曾有过不同的見解。本区内的蛇紋石化的生成时期，我們認為是在接触交代变质期之后，在空间上蛇紋石化則远超出接触交代变质的地段，造成广泛的围岩蝕变現象。

六、含矿热液蝕变作用

蛇紋石化后，则为硫化物生成期。硫化物主要孕育在矽卡岩帶內，少数远离矽卡岩滲杂于围岩白云大理岩中。这显然是含矿热液上升受着构造的控制，沿节理及岩石中的孔隙沉淀所致。浸染状、細脉状的硫化物及与其伴生的和后期生成的下述各类蝕变作用，加

迭在上述各期形成的矿物組合之上，增加了它們的复杂性。

1. 絹云母化：出現于矽卡岩內，这种矽卡岩內遺有被熔蝕的斜長石殘余体（高度矽卡岩化，原岩結構難以辨認的岩石），严重地被絹云母交代，尚伴生有黃銅矿。絹云母均为細小的鱗片狀，成集合體出現，油浸測定其折光率 $n_B = 1.583$ 。

2. 碳酸盐化：晚期热液的方解石，呈脉狀穿切矽卡岩帶，是一種普遍的現象。常与黃銅矿、閃鋅矿伴生，交代蛇紋石、磁鐵矿。在鏡下能看到微細方解石脉橫穿磁鐵矿晶体，并有时把磁鐵矿交代成孤島狀或构成网狀构造（照片 5）。同时在手标本上見到巨晶閃鋅矿为方解石所切割。

3. 綠泥石化：在接触交代的后期，綠泥石常与磁鐵矿伴生，有时磁鐵矿晶体包于結晶完好的綠泥石之内，二者关系密切。而晚期与硫化物伴隨的綠泥石化作用，则不明显，只在少數矽卡岩薄片內綠泥石与少數黑云母伴隨石榴石、透輝石等矿物出現，同时有絹云母化碳酸盐化作用发生。

4. 硅化作用：除在与矽卡岩帶接近的、矽卡岩化的花崗岩內見有明显的石英穿切外，矽卡岩帶上，尚未見明显的硅化作用。

七、矿物生成順序

本区內的矿物，除正岩浆結晶的矿物和地表风化产生的次生矿物以外，由热力变質、接触交代变質以及含矿热液所生成的矿物頗為复杂。非金属矿物計有：透閃石、鎂橄欖石、鈣鐵石榴石、透輝石—鈣鐵輝石、綠帘石、黝帘石、阳起石、方柱石、金云母、蛇紋石、絹云母、綠泥石、黑云母、方解石、直閃石、石英等。金属矿物計有：磁鐵矿、磁黃鐵矿、黃鐵矿、黃銅矿、閃鋅矿、方鉛矿等。

在同一时期內，由于温度不同就生成不同的矿物，又由于不同时期里多次生成的矿物在空間上的超复，使各种变質作用下生成的各种矿物的相互关系变为复杂。

热力变質作用影响下生成的透閃石多呈細柱狀分散于白云大理岩之内，偶見集合體，出現在层理面上，略呈綫状放射状。鎂橄欖石与透閃石一样，呈顆粒狀分散于白云大理岩內，在不少岩石薄片內，被后期热液交代，生成蛇紋石的顆粒狀橄欖石假象。

在矽卡岩帶內常見鈣鐵石榴石与透輝石共生，但有时可以清楚地看到后者被前者穿插零乱，甚或作前者的包体出現。透輝石也被綠帘石穿切，且在周围有时有次生透閃石出現。生于矽卡岩中的透閃石—阳起石要晚于热力变質作用下白云大理岩內的透閃石，它有交代透輝石的現象。磁鐵矿是矽卡岩帶最常見的矿物，无论在野外或鏡下都能見到它交代石榴石岩、透輝石岩和白云大理岩等等，但它又显著地被蛇紋石所交代，且很普遍。纖維蛇紋石（石棉細脈）常呈脉狀切穿其它两种蛇紋石。它們除交代磁鐵矿外，并見切割和交代輝石、交代鎂橄欖石的現象，广泛地沿白云岩层理和裂隙而入，造成本区普遍的蛇紋石化。金云母常与透閃石共生，也与透輝石共生，透輝石被交代呈孤島狀，而小鱗片狀的和纖維狀的云母片則可見到填充于透輝石顆粒間。綠泥石常与磁鐵矿伴生出現，关系密切，它也穿切白云大理岩，但与磁鐵矿有同时受蛇紋石交代的現象。方柱石出現很少，除清楚地見到它被透閃石和磁鐵矿穿插外，尚未見到与其它矿物有什么关系。

黃銅矿与閃鋅矿共生，閃鋅矿內有浮滴状黃銅矿存在，二者呈他形結構与方解石一起

冲入磁铁矿与蛇纹石中，并交代了它们。黄铁矿与闪锌矿伴生，或者呈自形存在于闪锌矿之中（照片6）。磁黄铁矿很细小，生于闪锌矿内。方铅矿少量，见于远离矽卡岩带的白云大理岩中，因无伴生矿物，故无法了解与其它矿物的伴生关系。少量磁铁矿生成较晚，呈细脉穿插闪锌矿。

最后，综合本区变质带矿物生成顺序如表6。

表6 含矿变质带矿物生成次序表

| 主要矿物 生 成 和 时 期 段 | 純热变 質期 | 接触交代变质期 | | 蛇纹石化期 | 含矿热液 蚀变期 |
|------------------------------------|-----------|---------|--------|-------|-------------|
| | | 矽卡岩化阶段 | 磁铁矿阶段 | | |
| 透闪石—阳起石 | ////// | ----- | ////// | | |
| 镁橄榄石 | ////// | | | | |
| 方柱石 | | //// | | | |
| 透辉石—钙铁辉石 | ----- | ////// | | | |
| 钙铁石榍石 | | ////// | | | |
| 绿帘石 | | ----- | //// | | |
| 黝帘石 | | ----- | | | |
| 金云母 | | ----- | //// | | |
| 直闪石 | | ----- | /// | | |
| 磁铁矿 | | | --- | --- | --- |
| 绿泥石 | | | ----- | ----- | ----- |
| 蛇纹石 | | | ----- | ----- | |
| 磁黄铁矿 | | | | --- | --- |
| 黄铁矿 | | | | --- | --- |
| 闪锌矿 | | | | --- | --- |
| 黄铜矿 | | | | --- | --- |
| 绢云母 | | | | ----- | ----- |
| 累云母 | | | | ----- | |
| 碳酸盐 | | | | ----- | ----- |
| 石英 | | | | ----- | ----- |
| 方铅矿 | | | | --- | --- |

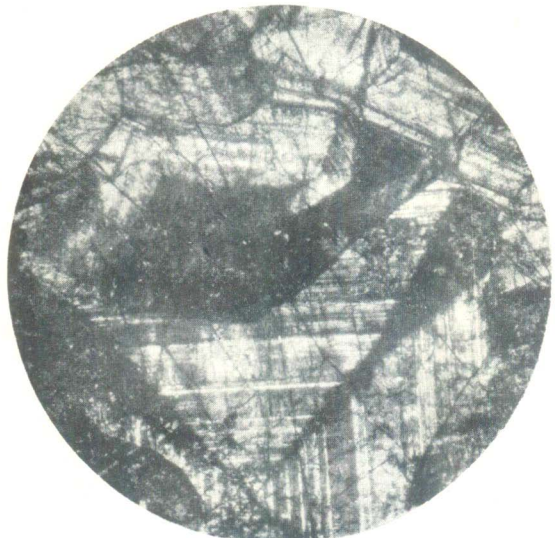
////// 非金属矿物

--- 金属矿物

八、结束语

1. 围岩性质，是生成接触交代变质矿床与控制围岩蚀变的要素之一。本区变质前的围岩，大致相当含硅质白云岩和硅质白云岩，尚有不含杂质的，相当于纯白云岩。华北前寒武纪灰岩与大理岩含镁质丰富，这种岩石与花岗质岩石接触生成的矿床及其变质带的规律，应有其一定的普遍性。

2. 蛇纹石化，在这一侵入体边缘各地普遍发育，系围岩富含镁质受热水溶液交代而生成。本区蛇纹岩内含石棉甚微，不具工业价值，但蛇纹石化现象仍不失为在这一侵入体边



照片 1



照片 2



照片 3



照片 4



照片 5



照片 6

图 版 說 明

- 照片 1. 砂卡岩中鈣鐵石榴石的明显环带构造。薄片 B43, 正交偏光, $\times 30$ 。
- 照片 2. 蝕变花崗岩中的奥长石边缘包以較基性斜长石的亮边。薄片 B140, 正交偏光, $\times 35$ 。
- 照片 3. 柱状、纤维状透辉石(Tr)与粒状磁铁矿(M)穿切巨晶方柱石(Sc)。薄片 B67, 平行偏光, $\times 20$ 。
- 照片 4. 蛇纹石化透辉白云大理岩, 被蛇纹石(Sr)交代而残留其中的透辉石残体(di), 暗示原有的解理纹。do——白云石。薄片 B₂, 正交偏光, $\times 30$ 。
- 照片 5. 磁铁矿(灰)被方解石(黑灰)充填, 构成网状构造。光片 B16, $\times 20$ 。
- 照片 6. 黄铁矿(灰白)呈条形分布在闪锌矿(灰)与透辉石(黑灰)之界限上, 或呈自形包于闪锌矿之中。光片 B31, $\times 20$ 。

围寻找矽卡岩矿床的标志。

3. D. C. 柯尔仁斯基曾指出, 矽卡岩是金属矿物的有效的沉淀剂, 矽卡岩本身则相当脉石一样。但矽卡岩体与矿体不能理解为同义语。我们認為本区的矽卡岩矿床属于“金属矿物比較均匀地分布于矽卡岩中”这一类型。因此, 矽卡岩在本区仍然是最好的找矿标志。

4. N. L. 鮑溫曾作过若干理論上关于硅質灰岩及白云岩的研究和实验。此次野外觀察所見由热力变質生成的含透閃石白云大理岩带与镁橄榄石白云大理岩带次序明显, 与其所作的結論是一致的。

* * *

作者等在野外工作时, 承蒙朱煥熙、刘学仁等同志給予很多帮助, 际此深表謝意。

(收稿日期: 1962年10月)

参 考 文 献

- [1] 王潤民 1959 河北省寿王坟地区白云岩的接触变質作用。地質科学第9期。
- [2] 卢祖蔭 1920 接触变質岩中石榴子石光性之研究。地質彙報第2卷。
- [3] 卡路波娃 E. D. 1956 蠕变围岩及其找矿意义。全苏地質研究所彙報, 地質出版社。
- [4] 叶良輔 1925 中国接触变質鐵矿石区閃长岩的岩相学。中国地質学会志第4卷2期。
- [5] 刘英俊 1957 河北深源烟煤洞石棉矿的成因。地質知識第10期。
- [6] 沈永和 1953 燐石石灰岩的接触变質。地質學報第33卷3期。
- [7] 李錫之 1958 对安徽銅官山矽卡岩型銅矿的几点认识。地質評論第18卷2期。
- [8] 卢奇茨基 1956 岩石学(中册)。地質出版社, 第29—43頁。
- [9] 周肖瑞 1961 粤东北一个矽卡岩型鐵矿床生成地質环境的初步分析。地質學報第41卷3—4期, 第408—414頁。
- [10] 孟宪民 1955 矽卡岩找矿意义。地質學報第35卷1期。
- [11] 侯德封 1935 河北深源石棉矿調查报告。地質彙報第25卷。
- [12] 郭文魁 1957 論安徽銅官山銅矿成因。地質學報第37卷3期。
- [13] Bowen, N. L. 1940 Progressive metamorphism of siliceous limestone and dolomite. Journ. of Geol. vol. XLVIII, No. 3.
- [14] Harker, A. 1960 Metamorphism. pp. 115—135.
- [15] Ho, T. L. 1936 The granite of Western Hills of Peiping and their metamorphism. Cont. Nat. Res. Geol. Acad. Sinica, No. 5.
- [16] Johannsen, A. 1932 A descriptive Petrography of Igneous rocks. vol. I & II.
- [17] Kenenedy, W. Q. 1959, The formation of diffusion reaction skarn by pure thermal metamorphism. min. mag. vol. 32, No. 244.
- [18] Meng, H. M. & K. Chang 1933 Magnetite deposits of Tung Kuan-Shan, Tangling, Anhui. Cont. Nat. Res. Geol. Acad. Sinica, No. 4.
- [19] Turner, F. T. 1949 Mineralogical and Structural Evolution of the Metamorphic rocks. pp. 109—136.
- [20] Watters, W. A. 1958 Some zoned skarns from granite-marble Contacts near Punyaladon in the Quérigut Area, Eastern Pyreness and their petrogenesis. Min. Mag. vol. XXXI, No. 240, pp. 703—725.

ON THE ORE-BEARING METAMORPHIC ZONE OF A CERTAIN SKARN TYPE OF ORE DEPOSIT OF HOPEI

KAO FAN LOH PENG-LAI

(Abstract)

In this ore deposit of skarn type, several approximately parallel metamorphic zones were noticed between Sinian dolomite and Yenshan porphyritic granite, which belongs to a branch of a great igneous intrusion. There is a certain rule in such zonal distribution. All the rocks in the contact zones, including those in the immediate approximate parts of the intrusive, have been metamorphosed to various extent.

Four kinds of metamorphic zones are revealed in the chronological order namely (1) purely thermal metamorphic zone, (2) metasomatic contact metamorphic zone, (3) serpentinized zone and (4) ore-bearing hydrothermal alteration zone.

Chemical analyses of granite and rock samples of various metamorphic zone are given in tables as evidences to explain development of different metamorphic zone especially for (1) and (2) zones.